

Starkniederschlagshöhen und -spenden gemäß KOSTRA-DWD-2020

Rasterfeld 179121

(Zeile 179, Spalte 121)

Regenspende und Bemessungsniederschlagswerte in Abhängigkeit von Wiederkehrzeit T und Dauerstufe D

| Dauerstufe D | | Wiederkehrzeit T | | | | | | | | | | | | | | | | | |
|--------------|-----|------------------|------------|------|------------|------|------------|------|------------|------|------------|-------|------------|-------|------------|-------|------------|-------|------------|
| | | 1 a | | 2 a | | 3 a | | 5 a | | 10 a | | 20 a | | 30 a | | 50 a | | 100 a | |
| min | Std | mm | l / (s ha) | mm | l / (s ha) | mm | l / (s ha) | mm | l / (s ha) | mm | l / (s ha) | mm | l / (s ha) | mm | l / (s ha) | mm | l / (s ha) | mm | l / (s ha) |
| 5 | | 8,0 | 266,7 | 9,9 | 330,0 | 11,1 | 370,0 | 12,7 | 423,3 | 15,0 | 500,0 | 17,3 | 576,7 | 18,8 | 626,7 | 20,8 | 693,3 | 23,7 | 790,0 |
| 10 | | 9,8 | 163,3 | 12,2 | 203,3 | 13,7 | 228,3 | 15,7 | 261,7 | 18,5 | 308,3 | 21,4 | 356,7 | 23,3 | 388,3 | 25,7 | 428,3 | 29,3 | 488,3 |
| 15 | | 11,0 | 122,2 | 13,7 | 152,2 | 15,3 | 170,0 | 17,5 | 194,4 | 20,6 | 228,9 | 23,8 | 264,4 | 26,0 | 288,9 | 28,7 | 318,9 | 32,7 | 363,3 |
| 20 | | 11,8 | 98,3 | 14,7 | 122,5 | 16,5 | 137,5 | 18,8 | 156,7 | 22,2 | 185,0 | 25,7 | 214,2 | 28,0 | 233,3 | 30,9 | 257,5 | 35,2 | 293,3 |
| 30 | | 13,1 | 72,8 | 16,3 | 90,6 | 18,2 | 101,1 | 20,8 | 115,6 | 24,5 | 136,1 | 28,4 | 157,8 | 30,9 | 171,7 | 34,2 | 190,0 | 38,9 | 216,1 |
| 45 | | 14,4 | 53,3 | 17,9 | 66,3 | 20,1 | 74,4 | 22,9 | 84,8 | 27,0 | 100,0 | 31,3 | 115,9 | 34,0 | 125,9 | 37,7 | 139,6 | 42,9 | 158,9 |
| 60 | 1 | 15,4 | 42,8 | 19,2 | 53,3 | 21,5 | 59,7 | 24,5 | 68,1 | 28,9 | 80,3 | 33,5 | 93,1 | 36,4 | 101,1 | 40,3 | 111,9 | 45,9 | 127,5 |
| 90 | 1,5 | 16,9 | 31,3 | 21,0 | 38,9 | 23,6 | 43,7 | 26,9 | 49,8 | 31,8 | 58,9 | 36,7 | 68,0 | 40,0 | 74,1 | 44,3 | 82,0 | 50,4 | 93,3 |
| 120 | 2 | 18,1 | 25,1 | 22,5 | 31,3 | 25,2 | 35,0 | 28,8 | 40,0 | 33,9 | 47,1 | 39,2 | 54,4 | 42,7 | 59,3 | 47,3 | 65,7 | 53,8 | 74,7 |
| 180 | 3 | 19,8 | 18,3 | 24,6 | 22,8 | 27,6 | 25,6 | 31,5 | 29,2 | 37,2 | 34,4 | 43,0 | 39,8 | 46,8 | 43,3 | 51,8 | 48,0 | 59,0 | 54,6 |
| 240 | 4 | 21,1 | 14,7 | 26,3 | 18,3 | 29,5 | 20,5 | 33,6 | 23,3 | 39,7 | 27,6 | 45,9 | 31,9 | 49,9 | 34,7 | 55,3 | 38,4 | 62,9 | 43,7 |
| 360 | 6 | 23,1 | 10,7 | 28,8 | 13,3 | 32,3 | 15,0 | 36,8 | 17,0 | 43,4 | 20,1 | 50,2 | 23,2 | 54,7 | 25,3 | 60,5 | 28,0 | 68,9 | 31,9 |
| 540 | 9 | 25,3 | 7,8 | 31,5 | 9,7 | 35,3 | 10,9 | 40,3 | 12,4 | 47,5 | 14,7 | 55,0 | 17,0 | 59,9 | 18,5 | 66,3 | 20,5 | 75,4 | 23,3 |
| 720 | 12 | 27,0 | 6,3 | 33,6 | 7,8 | 37,7 | 8,7 | 43,0 | 10,0 | 50,7 | 11,7 | 58,6 | 13,6 | 63,8 | 14,8 | 70,6 | 16,3 | 80,4 | 18,6 |
| 1080 | 18 | 29,6 | 4,6 | 36,8 | 5,7 | 41,2 | 6,4 | 47,1 | 7,3 | 55,5 | 8,6 | 64,2 | 9,9 | 69,9 | 10,8 | 77,3 | 11,9 | 88,0 | 13,6 |
| 1440 | 24 | 31,5 | 3,6 | 39,2 | 4,5 | 43,9 | 5,1 | 50,2 | 5,8 | 59,1 | 6,8 | 68,4 | 7,9 | 74,5 | 8,6 | 82,4 | 9,5 | 93,8 | 10,9 |
| 2880 | 48 | 36,8 | 2,1 | 45,7 | 2,6 | 51,2 | 3,0 | 58,5 | 3,4 | 69,0 | 4,0 | 79,8 | 4,6 | 86,9 | 5,0 | 96,1 | 5,6 | 109,4 | 6,3 |
| 4320 | 72 | 40,2 | 1,6 | 50,0 | 1,9 | 56,1 | 2,2 | 64,0 | 2,5 | 75,5 | 2,9 | 87,3 | 3,4 | 95,1 | 3,7 | 105,2 | 4,1 | 119,7 | 4,6 |
| 5760 | 96 | 42,9 | 1,2 | 53,3 | 1,5 | 59,8 | 1,7 | 68,3 | 2,0 | 80,5 | 2,3 | 93,1 | 2,7 | 101,3 | 2,9 | 112,1 | 3,2 | 127,6 | 3,7 |
| 7200 | 120 | 45,1 | 1,0 | 56,0 | 1,3 | 62,8 | 1,5 | 71,7 | 1,7 | 84,6 | 2,0 | 97,8 | 2,3 | 106,5 | 2,5 | 117,8 | 2,7 | 134,1 | 3,1 |
| 8640 | 144 | 46,9 | 0,9 | 58,3 | 1,1 | 65,4 | 1,3 | 74,7 | 1,4 | 88,1 | 1,7 | 101,8 | 2,0 | 110,9 | 2,1 | 122,7 | 2,4 | 139,6 | 2,7 |
| 10080 | 168 | 48,6 | 0,8 | 60,4 | 1,0 | 67,7 | 1,1 | 77,3 | 1,3 | 91,1 | 1,5 | 105,4 | 1,7 | 114,7 | 1,9 | 127,0 | 2,1 | 144,5 | 2,4 |

Starkniederschlagshöhen und -spenden gemäß KOSTRA-DWD-2020

Rasterfeld 179121

(Zeile 179, Spalte 121)

Örtliche Unsicherheiten in Abhängigkeit von Wiederkehrzeit T und Dauerstufe D

| Dauerstufe D | | Wiederkehrzeit T | | | | | | | | |
|--------------|-----|------------------|-----|-----|-----|------|------|------|------|-------|
| | | 1 a | 2 a | 3 a | 5 a | 10 a | 20 a | 30 a | 50 a | 100 a |
| min | Std | ± % | ± % | ± % | ± % | ± % | ± % | ± % | ± % | ± % |
| 5 | | 12 | 12 | 13 | 13 | 14 | 15 | 15 | 15 | 16 |
| 10 | | 14 | 16 | 17 | 17 | 18 | 19 | 20 | 20 | 21 |
| 15 | | 16 | 18 | 19 | 20 | 21 | 22 | 22 | 23 | 23 |
| 20 | | 17 | 19 | 20 | 21 | 22 | 23 | 24 | 24 | 25 |
| 30 | | 19 | 20 | 21 | 22 | 23 | 24 | 25 | 25 | 26 |
| 45 | | 19 | 21 | 22 | 23 | 24 | 25 | 25 | 26 | 26 |
| 60 | 1 | 19 | 21 | 22 | 23 | 24 | 25 | 25 | 26 | 26 |
| 90 | 1,5 | 18 | 20 | 21 | 22 | 23 | 24 | 25 | 25 | 26 |
| 120 | 2 | 18 | 20 | 21 | 22 | 23 | 24 | 24 | 25 | 25 |
| 180 | 3 | 17 | 19 | 20 | 21 | 22 | 23 | 23 | 24 | 25 |
| 240 | 4 | 16 | 18 | 19 | 20 | 21 | 22 | 23 | 23 | 24 |
| 360 | 6 | 16 | 17 | 18 | 19 | 20 | 21 | 22 | 22 | 23 |
| 540 | 9 | 15 | 16 | 17 | 18 | 19 | 20 | 21 | 21 | 22 |
| 720 | 12 | 14 | 16 | 17 | 18 | 19 | 19 | 20 | 20 | 21 |
| 1080 | 18 | 13 | 15 | 16 | 17 | 18 | 18 | 19 | 19 | 20 |
| 1440 | 24 | 13 | 14 | 15 | 16 | 17 | 18 | 18 | 19 | 19 |
| 2880 | 48 | 12 | 14 | 14 | 15 | 16 | 17 | 17 | 17 | 18 |
| 4320 | 72 | 12 | 13 | 14 | 14 | 15 | 16 | 16 | 17 | 17 |
| 5760 | 96 | 13 | 13 | 14 | 14 | 15 | 16 | 16 | 16 | 17 |
| 7200 | 120 | 13 | 13 | 14 | 14 | 15 | 15 | 16 | 16 | 17 |
| 8640 | 144 | 13 | 14 | 14 | 14 | 15 | 15 | 16 | 16 | 16 |
| 10080 | 168 | 14 | 14 | 14 | 14 | 15 | 15 | 16 | 16 | 16 |

Parameter für abweichende T und D

Lokationsparameter ξ (Xi)

15,59322253

Skalenparameter α (Alpha)

5,26865127

Formparameter κ (Kappa)

-0,1

1. Koutsoyiannis-Parameter θ (Theta)

0,01380872

2. Koutsoyiannis-Parameter η (Eta)

0,77814223

Parameter für dauerstufenübergreifende Extremwertschätzung nach KOUTSOYIANNIS et al. 1998.

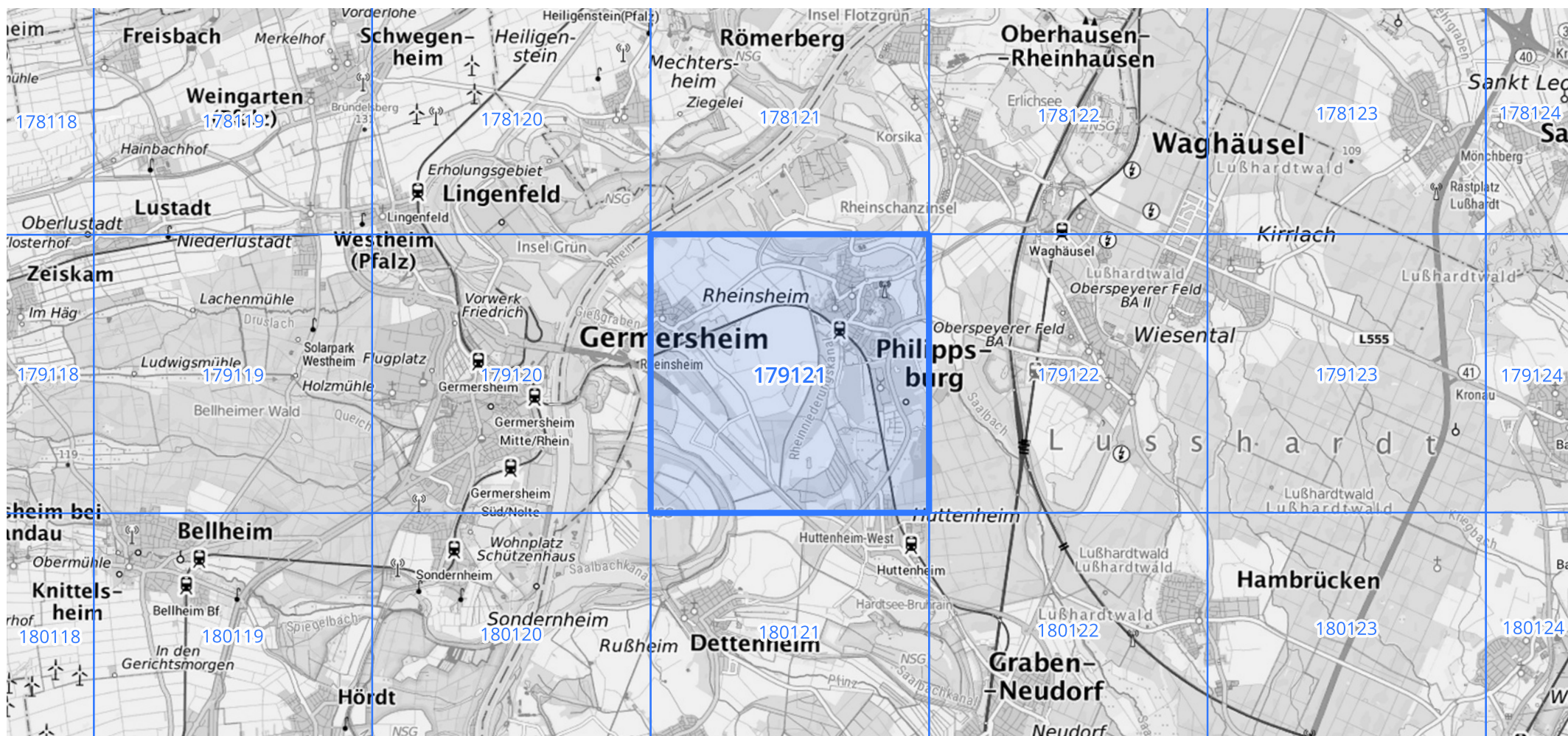
Siehe auch Anwendungshilfe zu KOSTRA-DWD-2020 des Deutschen Wetterdienstes.

Starkniederschlagshöhen und -spenden gemäß KOSTRA-DWD-2020

Rasterfeld 179121

(Zeile 179, Spalte 121)

Übersichtskarte des Rasterfeldes 179121, M 1 : 100 000



Quelle Rasterdaten: KOSTRA-DWD-2020 des Deutschen Wetterdienstes, Stand 12/2022.

Seite 3 von 3

Kartendarstellung: © Bundesamt für Kartographie und Geodäsie (2023), Datenquellen: https://sgx.geodatenzentrum.de/web_public/gdz/datenquellen/Datenquellen_TopPlusOpen.html

Für die Richtigkeit und Aktualität der Angaben wird keine Gewähr übernommen. Erstellt 01/2023.